

УДК 539.3

## О МЕТОДЕ ОБОБЩЕННОЙ СУПЕРПОЗИЦИИ В КОНТАКТНОЙ ЗАДАЧЕ АНТИПЛОСКОГО СДВИГА

АЛЕКСАНДРОВ В. М., БРУДНЫЙ С. Р.

Рассматривается контактная задача об антиплоском сдвиге полупространства жестким штампом. Материал полупространства считается нелинейным, со степенным законом связи между напряжениями и деформациями. Целью работы является сравнение точного решения задачи с приближенным решением, полученным по методу обобщенной суперпозиции, предложенному в [1].

1. Основная система уравнений. Нормальное сечение полупространства изображено на фиг. 1. Система уравнений и граничных условий рассматриваемой задачи имеет вид

$$\tau_{x,x} + \tau_{y,y} = 0 \quad (1.1)$$

$$\tau_x = K_0 \gamma^{\mu-1} u, \quad \tau_y = K_0 \gamma^{\mu-1} v; \quad 0 < \mu \leq 1 \quad (1.2)$$

$$\gamma = \sqrt{u^2 + v^2}; \quad u = w_{,x}, \quad v = w_{,y} \quad (1.3)$$

$$w = w_0 = \text{const}, \quad |x| < a; \quad \tau_y = 0, \quad |x| > a; \quad y = 0 \quad (1.4)$$

Здесь  $w = w(x, y)$  — перемещение вдоль оси  $z$ ,  $a$  — ширина штампа. Индексы, стоящие после запятой, обозначают дифференцирование по соответствующей переменной. Сила  $P$ , приложенная к штампу, связана с контактным напряжением  $q(x)$  по формуле

$$P = \int_{-a}^a q(x) dx \quad (1.5)$$

Подставив (1.2), (1.3) в (1.1), получим квазилинейное уравнение второго порядка на  $w$ :

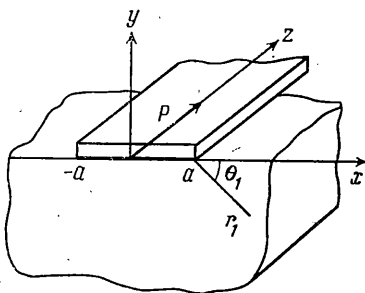
$$(\mu u^2 + v^2) w_{,xx} + (\mu v^2 + u^2) w_{,yy} + 2(\mu - 1) uv w_{,xy} = 0 \quad (1.6)$$

Это уравнение эквивалентно двум уравнениям первого порядка относительно  $u$  и  $v$ :

$$(\mu u^2 + v^2) u_{,x} + (\mu v^2 + u^2) v_{,y} + (\mu - 1) uv (v_{,x} + u_{,y}) = 0 \quad (1.7)$$

$$v_{,x} - u_{,y} = 0$$

2. Построение приближенного решения по методу обобщенной суперпозиции. Изложим на примере задачи антиплоского сдвига идею метода



Фиг. 1

обобщенной суперпозиции, созданного для решения нелинейных контактных задач.

Пусть известно решение задачи об антиплоском сдвиге полупространства из нелинейного материала сосредоточенной силой  $Q$ . Перемещение  $w$  границы полупространства представляется в виде

$$w(x, 0) = f(Q)F(|x|) \quad (2.1)$$

где  $f$  и  $F$  — некоторые нелинейные непрерывные функции. Предположим, что  $f$  имеет непрерывную обратную функцию  $f^{-1}$ . Тогда (2.1) можем записать в форме  $w_* = QF_*(|x|)$ , где  $w_*(x, 0) = f^{-1}(w(x, 0))$ ;  $F_*(|x|) = f^{-1}(F(|x|))$ .

Основное допущение метода состоит в том, что для системы сил  $q(x)$ , распределенных на участке  $l$  границы полупространства, обобщенное перемещение  $w_*$  можно получить простой суперпозицией

$$w_* = \int_l q(\xi)F_*(|x-\xi|)d\xi \quad (2.2)$$

Таким образом, рассматриваемая контактная задача сводится к определению неизвестной функции контактных напряжений  $q(x)$  из линейного уравнения (2.2).

В соответствии с методом обобщенной суперпозиции построим решение задачи о действии сосредоточенной силы. Можно показать, что с учетом соотношений (1.2) — (1.3) оно имеет вид

$$w = Q^n r^{1-n} / [(2K_0)^n (n-1)], \quad r = \sqrt{x^2 + y^2}, \quad n = \mu^{-1} \quad (2.3)$$

и, следовательно, уравнение (2.2) для рассматриваемой задачи может быть представлено в форме

$$x^\mu = \int_{-a}^a \frac{q(\xi)d\xi}{|x-\xi|^{1-\mu}}, \quad x = (2K_0)^n (n-1)w_0 \quad (2.4)$$

Это уравнение изучено в [4], где получены следующие соотношения для безразмерных величин  $x_* = x/a$ ,  $\delta_* = w_0/a$ ;  $q_*(x_*) = q(ax_*)/K_0$

$$q_*(x_*) = 2K_a P^* (1-x_*)^{-1/\mu}, \quad \delta_* = (n-1)^{-1} (2K_a \pi / \sin(\pi\mu/2))^n P^* \quad (2.5)$$

$$K_a = \Gamma((3-\mu)/2) \Gamma(\mu/2) \sin(\pi\mu/2) / \pi^{3/2}, \quad 2P^* = P / (aK_0)$$

Здесь  $\Gamma(t)$  — гамма-функция. Известно, что распределение контактных напряжений, полученное по методу обобщенной суперпозиции, дает неправильную степень особенности в угле штампа. Но неизвестно, насколько сильно оно отличается от истинного распределения в областях вдали от концов штампа.

**3. Построение точного решения.** Для построения точного решения необходимо выяснить характер поведения функции  $w(x, y)$  при  $r \rightarrow \infty$  и  $(x, y) \rightarrow (a, 0)$ . При  $r \rightarrow \infty$  асимптотическое поведение  $w(x, y)$  такое же, как и в задаче о сосредоточенной силе. Следовательно, учитывая (2.3), имеем

$$w \sim 0(r^{1-n}), \quad r \rightarrow \infty \quad (3.1)$$

Из (1.3) вытекает, что при этом

$$\gamma \sim 0(r^{-n}), \quad r \rightarrow \infty \quad (3.2)$$

Представления (3.1) и (3.2) дают возможность выразить асимптотическое поведение  $w(x, y)$  при  $r \rightarrow \infty$  в терминах  $\gamma$ :

$$w \sim 0(\gamma^{1-\mu}), \quad \gamma \rightarrow 0 \quad (3.3)$$

Изучим поведение  $w(x, y)$  при  $(x, y) \rightarrow (a, 0)$ . Для этого в угле штампа введем локальные полярные координаты  $r_1$  и  $\theta_1$  (фиг. 1). Асимптотическое разложение функции  $w$  при  $r_1 \ll 1$  представим в виде ряда по возрастающим степеням  $r_1$

$$w \sim \text{const} + r_1^\lambda f(\theta_1) + r_1^{2\lambda} f_1(\theta_1) + \dots \quad (0 < \lambda < \lambda_1 < \dots) \quad (3.4)$$

Подставляя (3.4) в (1.6) и приравнивая члены при одинаковых степенях  $r_1$ , получим уравнение на  $f(\theta_1)$ :

$$f''(\mu f'^2 + \lambda^2 f^2) + f'^2 f [2(\mu - 1)\lambda^2 + \lambda[(\lambda - 1)\mu + 1]] + \lambda^3 [(\lambda - 1)\mu + 1] f^3 = 0 \quad (3.5)$$

Учитывая граничные условия (без ограничения общности можно считать, что  $w = 0$  при  $\theta_1 = \pi$ ), имеем

$$f'(0) = 0, \quad f(\pi) = 0 \quad (3.6)$$

Можно показать, что общее решение уравнения (3.5) выражается через функцию  $\beta(\theta_1)$ . [2]:

$$f = C_1 (\beta^2 + m^2)^{\lambda-1} (\beta^2 + \lambda^2)^{-\lambda}, \quad m = \lambda [(\lambda - 1)\mu + 1] / \mu \quad (3.7)$$

$$\theta_1 + C_2 = -\text{arctg}(\beta \lambda^{-1}) - (1 - \lambda) m^{-1} \text{arctg}(\beta m^{-1}) \quad (3.8)$$

где  $C_1$  и  $C_2$  — константы интегрирования, а функция  $\beta(\theta_1)$  связана с  $f(\theta_1)$  соотношением  $f' = \beta f$  и удовлетворяет уравнению

$$\beta' = -\{\mu \beta^4 + \lambda[2\lambda\mu + 1 - \mu]\beta^2 + \lambda^3[(\lambda - 1)\mu + 1]\} / (\mu \beta^2 + \lambda^2) \quad (3.9)$$

Из (3.7) и  $f' = \beta f$  вытекает, что можно удовлетворить (3.6) только в том случае, если  $\beta(0) = 0$  и  $\beta(\pi) = -\infty$ . Учитывая это, из (3.8) определяем  $\lambda = \mu / (\mu + 1)$ . Отсюда следует, что

$$w \sim \text{const} + O(r_1^\lambda), \quad q \sim O(r_1^{-\lambda}); \quad r_1 \ll 1 \quad (3.10)$$

Первое из представлений (3.10) можно переписать в терминах  $\gamma$ :

$$w \sim \text{const} + O(\gamma^{-\mu}), \quad \gamma \rightarrow \infty \quad (3.11)$$

Вернемся к исходной задаче (1.1) — (1.5). Для ее решения применим преобразование Лежандра [3]. Введем новую функцию  $\psi = \psi(u, v)$ , связанную с  $w, x, y$  соотношениями

$$\psi(u, v) = xu + yv - w \quad (3.12)$$

$$x = \psi_{,u}, \quad y = \psi_{,v} \quad (3.13)$$

Из (1.6) получим уравнение на  $\psi(u, v)$  в форме

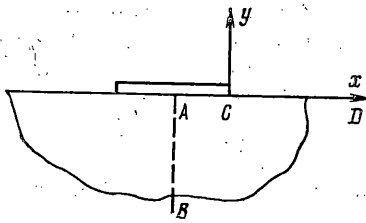
$$(\mu u^2 + v^2) \psi_{,vv} + (\mu v^2 + u^2) \psi_{,uu} - 2(\mu - 1)uv \psi_{,uv} = 0 \quad (3.14)$$

Можно показать, что система (1.7) является равномерно эллиптической на любом своем решении. Это означает, что рассматриваемая полуплоскость в физической плоскости  $(x, y)$  гомеоморфно отображается на некоторую область  $D$  в плоскости годографа  $(u, v)$  [4]. В последующем в силу симметрии задачи будем рассматривать только правую четверть плоскости в плоскости  $(x, y)$ , причем систему координат введем так, как изображено на фиг. 2. Учитывая граничные условия (1.4), а также характер поведения функции  $w$  в угле штампа и на бесконечности, можно построить соответствующую область в плоскости годографа, изображенную на фиг. 3. Для дальнейшего исследования удобно использовать безразмерные переменные  $y_* = y/a$ ,  $\rho = \gamma/\gamma_0$ ,  $\Phi = \psi/(a\gamma_0)$ , где  $\gamma_0$  — значение  $\gamma$  в точке А. Величину  $\gamma_0$  определим в ходе решения задачи.

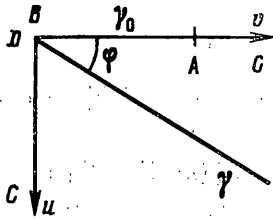
Переходя к полярным координатам  $\rho, \varphi$  (фиг. 3), представим (3.13), (3.14) в форме

$$x_* = \rho^{-1} \cos \varphi \Phi_{,\varphi} + \sin \varphi \Phi_{,\rho}, \quad y_* = -\rho^{-1} \sin \varphi \Phi_{,\varphi} + \cos \varphi \Phi_{,\rho} \quad (3.15)$$

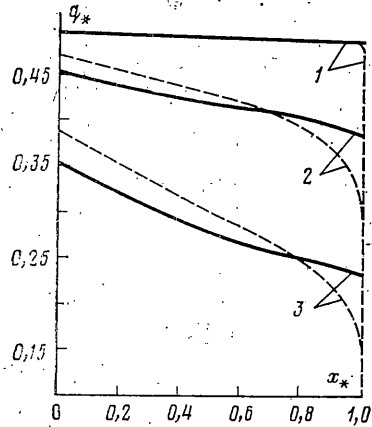
$$n \Phi_{,\rho\rho} + \rho^{-1} \Phi_{,\rho} + \rho^{-2} \Phi_{,\varphi\varphi} = 0 \quad (3.16)$$



Фиг. 2



Фиг. 3



Фиг. 4

Уравнение (3.16) впервые получено в [5]. Из соответствия границ на фиг. 2, 3 и соотношений (3.15) находим граничные условия на  $\Phi(\rho, \varphi)$ :

$$\rho^{-1}\Phi_{,\varphi} = 0, \quad \varphi = \pi/2 \quad (3.17)$$

$$\rho^{-1}\Phi_{,\rho} = -1, \quad 0 < \rho < 1; \quad \Phi_{,\rho} = 0, \quad \rho > 1; \quad \varphi = 0 \quad (3.18)$$

Решение краевой задачи (3.16)–(3.18) будем искать при помощи преобразования Меллина. Введем трансформанту Меллина функции  $\Phi(\rho, \varphi)$

$$\Phi^{\sim}(s, \varphi) = \int_0^{\infty} \Phi(\rho, \varphi) \rho^{s-1} d\rho, \quad \Phi(\rho, \varphi) = \frac{1}{2\pi i} \int_{\sigma-i\infty}^{\sigma+i\infty} \Phi^{\sim}(s, \varphi) \rho^{-s} ds \quad (3.19)$$

Учитывая (3.3), (3.11) и (3.12), имеем

$$\Phi(\rho, \varphi) \sim O(\rho^{1-\mu}), \quad \Phi(\rho, \varphi) \sim \text{const} + O(\rho^{-\mu})$$

Поэтому в формулах (3.19) необходимо брать  $-1+n^{-1} < \sigma$ ,  $\text{Re } s < 0$ . Из (3.16) следует, что  $\Phi^{\sim}(s, \varphi)$  удовлетворяет уравнению

$$\Phi^{\sim}_{,\varphi\varphi} + \omega^2(s) \Phi^{\sim} = 0, \quad \omega^2(s) = s[n(s+1) - 1]$$

Общее решение этого уравнения, удовлетворяющее граничному условию при  $\varphi = \pi/2$ , имеет вид  $\Phi^{\sim}(s, \varphi) = A_*(s) \cos[\omega(s)(\varphi - \pi/2)]$ .

Введя функции

$$g(\rho) = \Phi_{,\rho}(\rho, 0), \quad h(\rho) = \rho^{-1}\Phi_{,\varphi}(\rho, 0) \quad (3.20)$$

можно представить функцию  $A_*(s)$  в форме

$$A_*(s) = \frac{h^{\sim}(s)}{\omega(s) \sin[\omega(s)\pi/2]} = -\frac{g^{\sim}(s)}{s \cos[\omega(s)\pi/2]} \quad (3.21)$$

где, учитывая (3.20),  $h^{\sim}(s)$  и  $g^{\sim}(s)$  представляются в виде

$$g^{\sim}(s) = \int_0^{\infty} g(\rho) \rho^s d\rho = \int_0^1 g(\rho) \rho^s d\rho, \quad \text{Re } s > -1+n^{-1}$$

$$h^{\sim}(s) = \int_0^{\infty} h(\rho) \rho^s d\rho = -\frac{1}{s+1} + \int_1^{\infty} H(\rho) \rho^s d\rho = -\frac{1}{s+1} + H^{\sim}(s),$$

$$-1 < \text{Re } s < 0$$

Будем обозначать функции аналитические при  $\text{Re } s < 0$  знаком минус, а аналитические при  $\text{Re } s > -1 + n^{-1}$  — знаком плюс. Тогда из (3.21) получим  $(-1 + n^{-1} < \text{Re } s < 0)$ :

$$-g_+^{\sim}(s) = [-(s+1)_+^{-1} + H_-^{\sim}(s)] s \omega^{-1}(s) \text{ctg} [\omega(s)\pi/2] \quad (3.22)$$

Для решения этого функционального уравнения применим метод Ви-нера — Хопфа [6]. Представим сомножитель, стоящий при квадратных скобках в правой части (3.22), в виде [5]:

$$s \omega^{-1}(s) \text{ctg} [\omega(s)\pi/2] = D_-(n, s) / D_+(n, s) \quad (3.23)$$

$$D_-(n, s) = 2^{-\sqrt{n}s} \prod_{h=1}^{\infty} T_{2h-1}^+(s) / T_{2h}^+(s),$$

$$D_+(n, s) = 2^{-\sqrt{n}s-1} \pi n (s+1-n^{-1}) \prod_{h=1}^{\infty} T_{2h}^-(s) / T_{2h-1}^-(s)$$

$$T_m^{\pm} = \pm (\gamma_m^{\pm} - a_m s) \exp(\pm a_m s^*), \quad s^* = s + (n-1)(2n), \quad a_m = \sqrt{n}/m$$

$$\gamma_m^{\pm} = \sqrt{n} \{ n^{-1} - 1 \pm [(1-n^{-1})^2 + 4m^2 n^{-1}]^{1/2} \} / (2m) \quad (3.24)$$

Учитывая (3.23), можно записать (3.22) в форме

$$-g_+^{\sim}(s) D_+(n, s) + (s+1)^{-1} D_-(n, -1) = H_-^{\sim}(s) D_-(n, s) - (s+1)^{-1} \times$$

$$\times [D_-(n, s) - D_-(n, -1)]$$

$$-1 + n^{-1} < \text{Re } s < 0 \quad (3.25)$$

Так как левая часть этого равенства является функцией аналитической при  $\text{Re } s > -1 + n^{-1}$ , а правая — функцией аналитической при  $\text{Re } s < 0$  и они совпадают в полосе  $-1 + n^{-1} < \text{Re } s < 0$ , то они являются аналитическим продолжением друг друга. Таким образом, каждая часть равенства (3.25) представляет собой некоторую функцию  $E(s)$ , аналитическую на всей плоскости  $s$ . Для того чтобы определить эту функцию, надо знать ее асимптотическое поведение при  $|s| \rightarrow \infty$ , т. е. знать асимптотическое поведение функций  $g_+^{\sim}$ ,  $D_+$ ,  $H_-^{\sim}$ ,  $D_-$  при  $|s| \rightarrow \infty$  в соответствующих областях.

Асимптотическое поведение функций  $g_+^{\sim}(s)$  и  $H_-^{\sim}(s)$  при  $|s| \rightarrow \infty$  определяется поведением  $g(\rho)$  и  $H(\rho)$  в окрестности  $\rho=1$ . Чтобы выяснить это поведение, введем локальные координаты

$$\xi = \rho_1 \sin \varphi_1 = \sqrt{n} u / \gamma_0, \quad \eta = \rho_1 \cos \varphi_1 = v / \gamma_0 - 1$$

в которых уравнение (3.14) и граничные условия (3.18) соответственно примут вид

$$n \Phi_{,\xi\xi} + \Phi_{,\eta\eta} + (n-1)n [\xi^2 + n(\eta+1)]^{-1} [\xi^2 \Phi_{,\xi\xi} + 2\xi(\eta+1) \Phi_{,\eta\xi} + (\eta+1)^2 \Phi_{,\eta\eta}] = 0 \quad (3.26)$$

$$\Phi_{,\eta}(0, \eta) = 0, \quad \eta > 0; \quad \Phi_{,\xi}(0, \eta) = -\sqrt{n}, \quad \eta < 0 \quad (3.27)$$

Так как окрестность точки  $\rho=1$  в плоскости годографа соответствует окрестности точки  $(-1, 0)$  в физической плоскости, то с учетом (3.13) функция  $\Phi(\xi, \eta)$  должна быть ограничена и иметь ограниченные производные при  $\rho_1 \ll 1$ . Поэтому будем разыскивать разложение функции  $\Phi(\rho_1, \varphi_1)$  при  $\rho_1 \ll 1$  в виде

$$\Phi(\rho_1, \varphi_1) \sim \text{const} + f_2(\varphi_1) \rho_1 + f_3(\varphi_1) \rho_1^{3/2} + O(\rho_1^2) \quad (3.28)$$

Подставляя (3.28) в (3.26), (3.27) и приравнивая члены при одинаковых степенях  $\rho_1$ , получим

$$f_k'' + (k/2)^2 f_k = 0 \quad (k=2, 3 \dots), \quad f_2(0) = f_3(0) = f_3'(\pi) = 0; \quad f_2(\pi) = -\sqrt{n}$$

Отсюда находим искомое разложение для  $\Phi(\rho_1, \varphi_1)$ :

$$\Phi(\rho_1, \varphi_1) \underset{\rho_1 < 1}{\sim} C_0 + \sqrt{n} \rho_1 \sin \varphi_1 + C_1 \rho_1^{3/2} \sin(3\varphi_1/2) + O(\rho_1^2)$$

где  $C_0$  и  $C_1$  — некоторые константы. Тогда, учитывая (3.20):

$$g(\rho) \underset{\rho \rightarrow 1^-}{\sim} \text{const} \sqrt{1-\rho}; \quad H(\rho) \underset{\rho \rightarrow 1^+}{\sim} \text{const}$$

и, следовательно, [7]:

$$g_+ \underset{\sim}{\sim} O(s^{-1/2}), \quad |s| \rightarrow \infty, \quad \text{Re } s > -1 + n^{-1}; \quad H_-(s) \underset{\sim}{\sim} O(s^{-1}), \quad |s| \rightarrow \infty, \quad \text{Re } s < 0 \quad (3.29)$$

С другой стороны [5]:

$$D_+ \underset{\sim}{\sim} O(\sqrt{s}), \quad |s| \rightarrow \infty, \quad \text{Re } s > -1 + n^{-1}; \quad D_- \underset{\sim}{\sim} O(\sqrt{s}), \quad |s| \rightarrow \infty, \quad \text{Re } s < 0 \quad (3.30)$$

Учитывая (3.29), (3.30), из (3.25) получаем, что  $E(s) \rightarrow 0$  при  $|s| \rightarrow \infty$ , откуда, по теореме Лиувилля,  $E(s) \equiv 0$ . Теперь, используя (3.21), (3.25) и представление для  $h^+(s)$ , можем найти

$$A_*(s) = -D_-(n, -1) \{(s+1)D_-(n, s) \omega(s) \sin[\omega(s)\pi/2]\}^{-1}$$

$$\Phi(\rho, \varphi) = -\frac{1}{2\pi i} \int_{\sigma-i\infty}^{\sigma+i\infty} \frac{D_-(n, -1) \cos[\omega(s)(\varphi - \pi/2)] ds}{(s+1)D_-(n, s) \omega(s) \sin[\omega(s)\pi/2]}, \quad -1 + n^{-1} < \sigma < 0 \quad (3.31)$$

Для вычисления последнего интеграла применим теорию вычетов. При  $\rho < 1$  контур интегрирования замыкается полукругом радиуса  $R \rightarrow \infty$  в полуплоскости  $\text{Re } s < -1 + n^{-1}$ , а при  $\rho > 1$  — в полуплоскости  $\text{Re } s > 0$ . Как следует из (3.23), (3.24), подынтегральное выражение в (3.31) при  $n \neq 1, \infty$  имеет в точках  $s=0, -1 + n^{-1}, -1, c_m, b_m$ , где  $c_m = \gamma_{2m}^- / a_{2m}$ ,  $b_m = -\gamma_{2m}^+ / a_{2m-1}$ ,  $\omega(c_m) = 2m$ ,  $\omega(b_m) = 2m - 1$ , простые полюса. Следовательно

$$\Phi(\rho, \varphi) = \begin{cases} -C_0 \rho^{1-n^{-1}} - \rho \sin \varphi - \sum_{m=1}^{\infty} C_m \rho^{-c_m} \cos 2m\varphi, & \rho < 1 \\ -B_0 - \sum_{m=1}^{\infty} B_m \rho^{-b_m} \sin(2m-1)\varphi, & \rho > 1 \end{cases} \quad (3.32)$$

$$C_0 = 2n D_-(n, -1) [\pi(n-1) D_-(n, -1 + n^{-1})]^{-1},$$

$$B_0 = 2 D_-(n, -1) [\pi(n-1) D_-(n, 0)]^{-1}$$

$$C_m = D_-(n, -1) [\pi m(1+c_m) D_-(n, c_m) \omega'(c_m)]^{-1} \quad (m=1, 2, \dots)$$

$$B_m = 2\sqrt{n} b_m D_-(n, -1) [\sqrt{n}(1+b_m)]^{-1} T_{2m}^+(b_m) \prod_{\substack{k=1 \\ k \neq m}}^{\infty} T_{2k}^+(b_m) / T_{2k-1}^+(b_m)$$

Теперь можно определить константу  $\gamma_0$ , воспользовавшись соотношением (1.5)

$$\int_{-a}^0 q(x) dx = K_0 a \gamma_0^n \int_{-1}^0 \rho^n dx_* = P/2$$

Учитывая, что  $x_* = H(\rho)$ , окончательно получим

$$\gamma_0 = \frac{1}{K_*^n} \left( \frac{P}{2K_0 a} \right)^n, \quad K_* = \int_1^{\infty} \rho^n H'(\rho) d\rho \quad (3.33)$$

Величина  $K_*$  вычисляется при помощи второй из формул (3.32) и может быть представлена в форме

$$K_* = \sum_{m=1}^{\infty} \frac{(b_m+1)(2m-1)}{(b_m+1-\mu)} B_m$$

Из (3.32) и (3.15) легко получить, что при  $y_*=0$  для  $|x_*| \ll 1$  справедливо

$$x_* \sim -B_1 \rho^{-(\mu+1)}, \quad \rho \ll 1 \quad (3.34)$$

Так как контактные напряжения выражаются по формуле  $q_* = \rho^\mu \gamma_0^\mu$ , то, учитывая (3.23) и (3.24), получим, что в угле штампа главный член асимптотики контактных напряжений имеет вид

$$q_* \sim (2K_*)^{-1} B_1^{(n+1)^{-1}} |x_*|^{-(n+1)^{-1}}, \quad |x_*| \ll 1.$$

Отсюда получаем выражение для коэффициента интенсивности контактных напряжений в угле штампа

$$K_u = (2K_*)^{-1} B_1^{(n+1)^{-1}} [P/(K_0 a)].$$

Из (3.12) и (3.32) можно получить связь между перемещением штампа и приложенной к нему силой  $P$ . В безразмерных переменных она имеет вид

$$\delta_* = B_0 \gamma_0 = B_0 K_*^{-n} [P/(2K_0 a)]^n$$

**4. Сравнение решений, полученных обоими методами.** Вернемся к системе координат, связанных с центром штампа. В силу симметрии задачи рассмотрим область  $x > 0$ . В безразмерных переменных основные характеристики решения, полученные как по методу обобщенной суперпозиции, так и путем точного решения задачи, можно представить в единой форме

$$q_*(x_*) = [P/(aK_0)] T(x_*), \quad K_u = \kappa_u [P/(aK_0)] \\ \delta_* = K_0 (n-1)^{-1} [P/(2aK_0)]^n$$

	$T(x_*)$	$\kappa_u$	$K_\delta$
Метод обобщенной суперпозиции	$K_a (1-x_*^2)^{-1/2\mu}$	$K_a / 2^{1/2\mu}$	$2K_a \pi [\sin(\pi\mu/2)]^{-1}$
Точное решение	$(2K_*)^{-1} \rho^\mu, \quad x_* = H(\rho)$	$(2K_*)^{-1} B_1^{(n+1)^{-1}}$	$B_0 / K_*^n$

Функции  $T(x_*)$  сравнивались в доверительном интервале  $[0; 0, 9]$  и находилась абсолютная величина относительной ошибки

$$\varepsilon = \max_{x_* \in [0; 0, 9]} |[T^t(x_*) - T^a(x_*)] / T^t(x_*)| 100\%$$

$$x_* \in [0; 0, 9]$$

Индекс  $a$  обозначает решение по методу обобщенной суперпозиции, а  $t$  — точное решение. Несколько характерных графиков приведены на фиг. 4, где кривые построены для трех значений  $n$ : 1 — 100, 2 — 5, 3 — 1,5. В целях большей наглядности на график выведены значения функции  $q_0(x_*) = (1-x_*)^{(n+1)^{-1}} q(x_*)$ . Точному решению соответствует непрерывная линия, а решению по методу обобщенной суперпозиции — пунктирная. Остальные результаты расчетов приведены ниже:

$n$	1	1,5	2	3	5	10	20	100
$\kappa_u^t$	0,225	0,272	0,304	0,345	0,388	0,430	0,456	0,487
$K_\delta^t$	0,637	0,716	0,798	0,952	1,231	1,793	2,610	6,000
$\kappa_u^a$	0,225	0,307	0,351	0,398	0,437	0,468	0,483	0,497
$K_\delta^a$	2,000	4,696	13,75	176,4	$7,8 \cdot 10^7$	$7,7 \cdot 10^{12}$	$8,2 \cdot 10^{32}$	$\approx 200^{100}$
$\varepsilon$	0	7,1	7,5	6,4	5,1	3,1	1,6	0,25

Анализ численных результатов показывает, что в доверительном интервале распределение контактных напряжений, полученных по методу обобщенной суперпозиции, достаточно близко к точному; максимальное отличие наблюдается в окрестности значений  $n=2$  и не превышает 10%.

Но коэффициент  $K_0$  отличается довольно сильно, и если в точном решении [5]  $K_0(n) \sim O(\sqrt{n})$ ,  $n \rightarrow \infty$ , то в решении по методу обобщенной суперпозиции  $K_0(n) \sim (2n)^n$ ,  $n \rightarrow \infty$ .

В заключение скажем несколько слов о численной реализации точного решения. Коэффициенты  $B_m$  вычислялись по программе с двойной точностью с погрешностью  $10^{-7}$ . В бесконечных суммах бралось столько членов ряда, чтобы абсолютная величина суммы коэффициентов при отброшенных членах не превосходила 0,5% от общей суммы коэффициентов.

#### ЛИТЕРАТУРА

1. Арутюнян Н. Х. Плоская контактная задача теории пластичности со степенным упрочнением материала. — Изв. АН АрмССР. Сер. физ.-мат. наук, 1959, т. 12, № 2, с. 77–105.
2. Камке Э. Справочник по обыкновенным дифференциальным уравнениям. М.: Наука, 1965. 703 с.
3. Березовский А. А. Лекции по нелинейным краевым задачам математической физики. Ч. 2. Киев: Наук. думка, 1976. 292 с.
4. Монахов В. Н. Краевые задачи со свободными границами для эллиптических систем уравнений. Новосибирск: Наука, 1977. 424 с.
5. Amazigo J. C. Fully plastic crack in an infinite body under anti-plane shear. — Intern. J. Solids and Struct., 1974, v. 10, No. 9, p. 1003–1015.
6. Нобл Б. Применение метода Винера — Хопфа для решения дифференциальных уравнений в частных производных. М.: Изд-во иностр. лит., 1962. 279 с.
7. Эрдейи А. Асимптотические разложения. М.: Физматгиз, 1962. 127 с.

Москва

Поступила в редакцию  
31.I.1985